

RESEARCH ARTICLE

Detection and assessment of sedimentary plain soil areas environmentally sensitive to desertification and salinisation in Qadisiyah Governorate using Geomatics applications (using the GEE platform)

Ahmad S. Yasien Al-Gurairy ^{a,*}, Jameel A. Hamza Al-Omary ^{b,*}, Hassan H. Abd Al-kadhim Aljashamy ^{c,*}

^a University of Al-Qadisiyah, College of Arts, Geography department , Iraq,

^b University of Al-Qadisiyah- College of Education – Iraq

^c Ministry of Education – Iraq

ABSTRACT

Desertification and soil salinisation are factors that transform productive ecosystems into fragile ones due to two decisive factors: climate and negative human intervention. Therefore, assessing environmentally sensitive areas is essential for implementing sound management practices to combat land degradation in the Iraqi sedimentary plain. This study focused on determining the size and change in areas of originally arable land that were affected by desertification and salinisation in the Al-Qadisiyah Governorate for the period from 2022 to 2024.

The platform 'Gee Engine' was used to monitor desertification and salinisation based on the analysis of European satellite images 'Sentinel-2'. The results indicated that the areas affected by severe desertification and salinisation in the region amounted to approximately **30.92%, 11.84%, and 7.54%** for 2022, 2023, and 2024, respectively, of the total sedimentary soil area in the governorate, which is estimated at **8,300 km²**.

The main reason for the expansion of desertified and saline areas is the negative role of neighbouring countries, which have caused a decrease in the flow of the Euphrates River as a result of building dams on its headwaters in Turkey. It is also due to climate change, which has led to severe fluctuations in rainfall and higher annual temperatures.

Keywords: Soil Desertification, Soil Salinisation, Geomatics Applications, Google Earth Engine (GEE), Iraqi Sedimentary Plain, Climate Change.

مقالة بحثية

الكشف وتقييم مناطق تربة السهل الرسوبي الحساسة بيئياً للتصرّح والتملح في محافظة القادسية باستخدام تطبيقات الجيوماتكس (استخدام منصة GEE إنمودجاً)

أحمد الغريري ¹ ، جميل العمري ² ، حسن هادي الجشعبي ³

جامعة القادسية ، كلية الآداب ، العراق ¹

جامعة القادسية ، كلية التربية ، العراق ²

وزارة التربية – تربية الديوانية ، العراق ³

الملخص:

يؤدي التصرّح والتملح للتربة إلى تحويل النظام البيئي الإنتاجي إلى نظام هش بسبب عاملين حاسمين، هما المناخ والتدخل البشري السلي. لذلك، يُعد تقييم المناطق الحساسة بيئياً للتصرّح والتملح وفهم أسبابهما، أمراً ضرورياً لتطبيق ممارسات الإدارة الصحيحة لمكافحة تدهور الأرضي في منطقة السهل الرسوبي العراقي. لذلك، تركز دراستنا الحالية على تحديد حجم وبيان مساحات الأراضي الصالحة للزراعة أصلاً والتي تعرضت لعمليات التصرّح والتملح للتربة في محافظة القادسية للمدة (تموز 2022 – نيسان 2024).

تم الاعتماد على النظام الأساسي السحابي لمنصة محرك (GEE) في رصد تصرّح والتملح للتربة. الأمر الذي تمّ، إعتماداً على تحليل مركبات القمر الإصطناعي الأوروبي – Sentinel 2 للأعوام 2022, 2023 و 2024، في بيئة المنصة (GEE). أشارت النتائج إلى أنَّ المساحات التي تعرضت للتصرّح الشديد والتملح للتربة في المنطقة، بلغت نحو (30.92, 11.84, 7.54) % للأعوام 2022, 2023 و 2024 على التوالي، من أصل المساحة الكلية لتربة السهل الرسوبي في المحافظة والتي تقدر بنحو 8300 كم².

ان السبب الرئيس لاتساع مساحات الأراضي المتصرّحة والمملحة، ترجع للدور السلبي لدول الجوار، التي تسبّب في إنخفاض واردات مياه نهر الفرات كنتيجة لإقامة السدود على مصادر الماء في تركيا من جهة. كذلك بسبب التغيير المناخي، الذي نتج عنه تذبذب التساقط المطري بشدة بين عامٍ وآخر، وإرتفاع معدلات الحرارة السنوية من جهة ثانية.

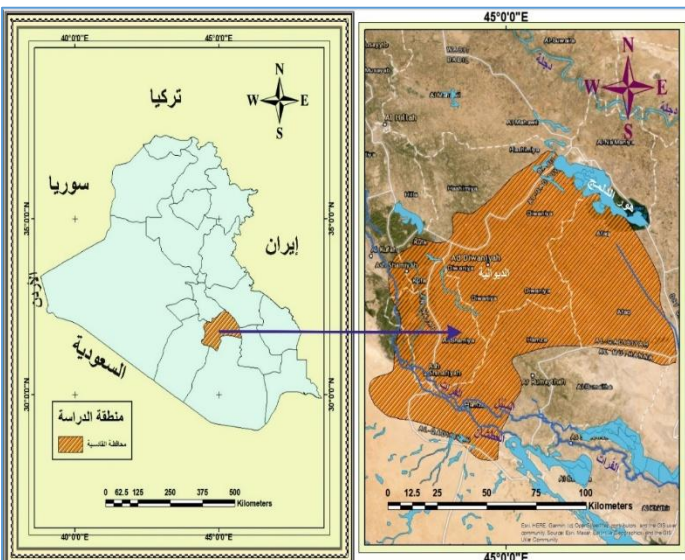
الكلمات المفتاحية: تصرّح للتربة، تملح للتربة، تطبيقات الجيوماتكس، محرك جوجل إيرث (GEE)، السهل الرسوبي العراقي، التغيير المناخي.

الغطاء النباتي، الذي يتغير ديناميكيًا بمرور الوقت، هو العامل الأكثر نشاطًا الذي يؤدي إلى تغيرات ديناميكية في حساسية الأرض للتصحر (13, p: 45 ; 14, p: 5-7). فيما تتأثر حساسية الأرض للتصحر في إيطاليا بشكل أساسي بجودة الغطاء النباتي، وهي أكثر أهمية من إدارة الأرضي وجودة المناخ (15, p: 1). لذا، فقد كان لانتشار بيانات المرئيات الفضائية وسهولة مشاركتها المجانية آنيًا وتطور تطبيقات الإستشعار عن بعد المتاحة للباحثين، فضلًا عن، التحديث السريع للبيانات المختلفة (بيانات المرئيات الفضائية، بيانات الارصاد الجوية، البيانات متعددة المصادر)، كان لها الدور الأكبر في تبع ودراسة الفظواهر الخطيرة المختلفة ومنها التصحر.

لذلك، تهدف هذه الدراسة بدورها للإجابة عن الاستلة الرئيسة التالية: ما هي خصائص التوزيع المكاني والزمني لتصحر وتملع تربة السهل الروسي في محافظة القادسية؟ وهل يمكن متابعة هذا الموضوع المعقد بالإستعانة بالتطبيقات الجيوماتيكية الحديثة المتاحة للباحثين في عموم العالم؟ بالإضافة إلى، هل يمكن الحصول على نتائج دقيقة أو مرضية عن تصحر وخسارة التربة الزراعية الخصبة أصلًا في المنطقة؟

2. منطقة الدراسة – Study Area تشمل منطقة الدراسة نطاق السهل الروسي العراقي، الواقع ضمن الحدود الإدارية لمحافظة القادسية، والتي يمكن تمييزها بسهولة ووضوح من نهر الفرات غرباً إلى شرق المحافظة، الشكل (1).

الشكل (1) خارطة العراق الإدارية موضحاً عليها منطقة الدراسة أُنجزت الخارطة اعتماداً على البيانات الرقمية الخاصة بالعراق ومحافظة القادسية (Shapefile) ومعالجتها في بيئة تطبيق ArcGIS



عموماً، تقدر مساحة المحافظة بنحو (9121) كم²، وباستثناء المنطقة الغربية منها والتي تمثل التربة الصحراوية – الصخرية البالغ مساحتها نحو (821) كم²، التي تمثل بدورها جزءاً طبيعياً لنطاق الصحراء الجنوبية، بذلك تكون مساحة منطقة الدراسة المستدففة حوالي (8300) كم² من إجمالي المساحة الكلية

1. المقدمة – Introduction

التصحر- Desertification هو أحد أخطر المشاكل البيئية التي يواجهها العالم في الوقت الحاضر، فقد ثبت أنَّ تصحر الأرضي يتأثر بشكل خطير بالتغيير المناخي العالمي – Global Climate Change. كذلك، فإن ما تم معرفته من المعلومات المتعلقة بالأنتماط المكانية والزمانية المستقبلية لتصحر الأرضي في ظل تغير المناخ ما زال غير كافٍ لمواجهة هذا الخطر الذي يتسبب بتدحر الأرضي، وبالتالي ما يلقيه ذلك من ظلال سلبية على البيئة والإقتصاد معاً (2, p:266 ; 3, p: 75 ; 4, p: 5-6). إذ تُشير التقديرات إلى أنَّ أكثر من مليار شخص على مستوى العالم يتأثرون سلبياً بتدحر الأرضي (4, p:3).

وقد عرَّفت الأمم المتحدة التصحر (Desertification) لأول مرة عام 1977 بأنه "تناقص أو تدمير الإمكانيات البيولوجية للأرض والتي يمكن أن تؤدي في نهاية المطاف إلى ظروفٍ شبيهةٍ بالصحراء" (5, p: iii-2). ووفقاً لتعريف إتفاقية الأمم المتحدة لمكافحة التصحر، فهو عملية تدحر الأرضي في المناطق القاحلة وشبه القاحلة أو الجافة شبه الرطبة، بسبب عوامل مختلفة بما في ذلك تقلُّب المناخ الناتج عن التغير المناخي العالمي، بالإضافة إلى الأنشطة البشرية السلبية (6, p: 3 & 73 ; 1). كما يمكن تقسيم التصحر على عدة أنواع ابرزها: التصحر الريحي، التصحر الناتج عن عمليات التأكل المائي، تملع التربة و ذلك الناتج عن تجمد التربة أيضًا (8, p: 1).

ونظراً لاتساع المساحات المتصحرة، وتلك التي يجب مراقبتها باستمرار من جهة، فقد كان لبيانات الأقمار الإصطناعية أهميةً كبرى في هذا الموضوع والمساعدة الكبيرة في مراقبة التصحر وإتجاهاته المختلفة على مستوى العالم، بالخصوص بيانات مرئيات أقمار – 2, Spot و غيرها (9, p: 2243 ; 10, p: 520-521). فيما تنقسم تطبيقات الإستشعار عن بعد لرصد التصحر على فئتين رئيسيتين، النوع الأول منها يتمثل بالاستخدام المباشر للتفسير البصري لبيانات الإستشعار عن بعد أو التصنيف الحاسوبي لفهم حالة التصحر الأرضي ومساحاته ونمطه المكاني، أما الفئة الثانية منه، فهي بناء نماذج لعكس حالة التصحر من خلال اختيار عدة مؤشرات، مع التركيز على رصد التغير المكاني والزمني. إنَّ عملية التصحر، التي تحركها مجموعة من العوامل الطبيعية والأنشطة البشرية، معقدة للغاية؛ إنَّ حساسية الأرض للتصحر لها ديناميكيات زمنية وعدم تجانس مكاني. إنَّ توضيح الدور الدافع للعوامل المتعلقة بحساسية الأرضي للتصحر وفهم التناقضات الرئيسية مما شرط أنَّ أساسيات مهمان لوضع خطط مكافحة فعالة، لذلك تشكل عمليات رصد التصحر وتقديره شرطاً أساسياً هاماً للوقاية من التصحر ومكافحته (13, p: 1).

يجدر بالذكر أيضاً أنَّ المناطق الواقعة عند خطوط عرض مختلفة تمتاز بظروف تربة و المياه مختلفة، مما يؤدي إلى اختلاف مساهمات الغطاء النباتي والمناخ والتربة في عملية التصحر. فمثلاً، تلعب التربة والمناخ الدور الأكبر مباشرة في حساسية الأرض للتصحر في المنطقة القاحلة في شمال غرب الصين، في حين أنَّ

من الشكل (2)، يتضح ان لإستواء سطح الوحدة الجيومورفولوجية للسهل الرسوبي العراقي، تأثير كبير في تملح تربته الناجم عن ضعفها في تصريف كميات المياه الفائضة عن حاجة النبات، لاسيما في الجهات الجنوبية الشرقية من المحافظة. وبالتالي فان النشاطات السلبية والممارسات غير الصحيحة للانسان، بالخصوص في مجال الزراعة، ستتعكس آثارها السلبية بشدة على تملح التربة، وبالتالي تصرّها.

4. تحليل البيانات باستخدام منصة محرك Google Earth (GEE)

لإيجاد، إن عملية تنزيل البيانات ومعالجتها بصورة شخصية باستخدام الحاسوب الشخصي للباحث، كانت تستغرق وقتاً طويلاً، بالإضافة إلى ما يواجهه الباحث من عراقيل كبيرة قد تتمثل بضعف الانترنت لديه، وضخامة حجم ملفات المركبات الفضائية وطول مدة تنزيلها لحاسوبه الشخصي، قبل ظهور منصة محرك Google Earth (GEE). لقد اتاحت هذه المنصة (GEE) للباحثين العمل ضمن بيئتها بمختلف البيانات واحجام الملفات، بالإضافة لإتاحتها أيضاً تصدر النتائج المعالجة والمحسوبة رقمياً بصورة مباشرة. الامر الذي اتاح للباحثين العمل على مساراتهم العلمية بسهولة كبيرة ناتجة عن تقليل عيوب عمل المعالجة الشخصية للبيانات وما يتطلبه ذلك من إمكانيات وصفات معينة في الحاسوب الشخصي المستخدم، وسعة تخزين بيانات كبيرة، وهو ما أغنت عنه منصة محرك GEE حالياً. لذا، تتيح منصة GEE للباحثين تحليل بيانات الإستشعار البعيد (مختلفة المصادر والأوقات) لاي منطقة من العالم، بسلامة زمنية طويلة وعالية الدقة. هذا الامر، سيمنح الباحثين حرية حركة ورؤية اكثراً شمالاً ووضوحاً خلال وقتٍ قصير وبجهد معقول، وهو ما يتيح وبالتالي تقييم ومتابعة مدى حساسية الارضي للتصرّح (جفافاً وتملحاً للتربة، ندرةً في الغطاء النباتي). وهو ما نحتاج إليه في منطقة الدراسة الحالية، وفي مناطق واسعة أخرى من العراق لمتابعة إتجاهات التصحر والجفاف وتملح التربة في البلد عموماً.

4. إدخال البيانات الضرورية لمنصة (GEE): إن عملية تحليل البيانات في هذه المنصة الجيوماتيكية، تتطلب عدة مراحل متسلسلة وبسيطة في الوقت نفسه. فهي تبدأ من رفع ملف منطقة الدراسة إلى منصة (GEE) على شكل ملف (Shapefile) او بصيغة اخرى، الشكل (3). كذلك تتطلب، معرفة الشفرة او معادلة الترميز (Code) الواجب إدخالها في بيئه المنصة، كلّ بحسب المهد والغاية من استخدام المنصة. فيي حالتنا هذه، تم الاستعانة بشفرة الترميز الخاصة بـ تملح وتصحر الارضي اعتماداً على تحليل بيانات الطول الموجي للمركبات الفضائية من القمر الاصطناعي 2 – Sentinel 2، الشكل (4).

من ثم، وبعد إدخال كود الملوحة ، يتم الإياعز للمنصة بالبدء بتحليل البيانات وعرض النتائج.

للمحافظة . اما الحدود الزمانية فقد امتدت على نطاق ثلاث سنوات تبدأ من تموز عام 2022 ولغاية نهاية نيسان من عام 2024.

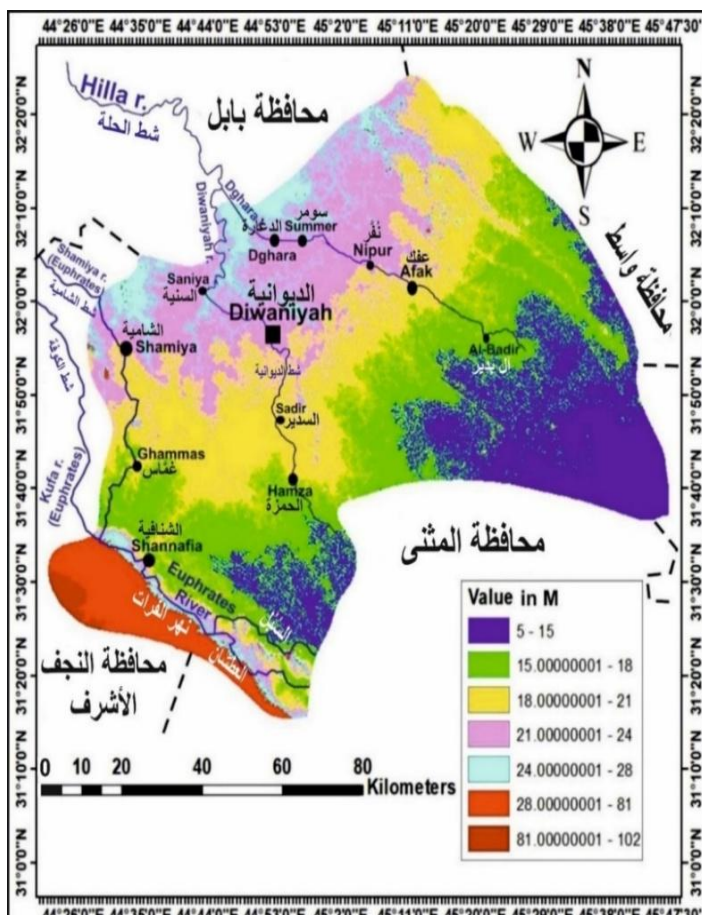
3. الخصائص الطبيعية

تمتاز منطقة الدراسة بكوئها ذات خصائص طبيعية متشابهة تقرباً في معظم اجزائها، عدا شريط ضيق يقع عند جزءها الغربي، وهو ما يمكن توضيح وفقاً

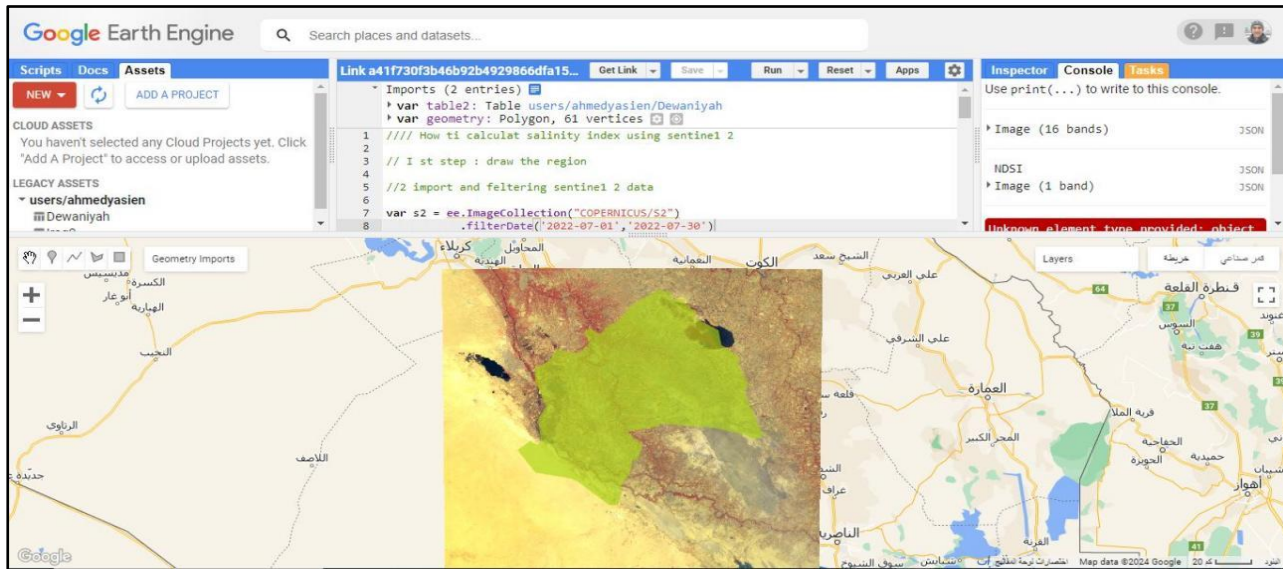
1.3. طبغرافية وجيومورفولوجية المنطقة

تمتاز المنطقة طبغرافياً، بأنها ذات سطح مستوي في اغلب اجزائها، وهذا يرجع لكون معظم اجزائها يقع جيومورفولوجياً ضمن وحدة السهل الرسوبي العراقي، فيما يقع شريط ضيق وحسب من وحدة الرصيف الصحراوي (الصحراء الجنوبية)

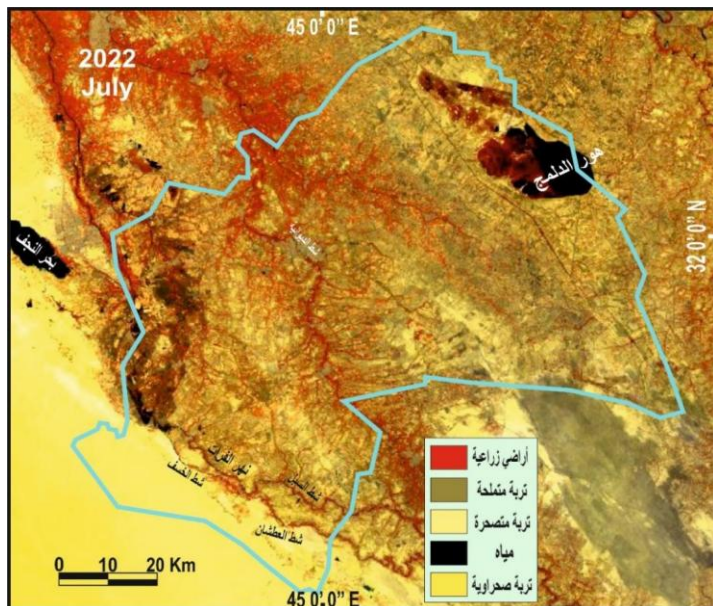
الشكل (2) خارطة طبغرافية منطقة الدراسة (بتصرف عن: 12, p: 517) غرب المحافظة. لذلك فيمكن ملاحظة ان معظم سطح المنطقة يقع طبغرافياً ضمن ارتفاع (من 5 إلى 24) م فوق مستوى سطح البحر(الوحدة الجيومورفولوجية للسهل الرسوبي). فيما يمكن ملاحظة ان وحدة الرصيف الصحراوي تظهر في المنطقة ضمن نطاقات ارتفاع اعلى من 24 م وحتى 102 م فوق مستوى سطح البحر، الشكل (2).



الشكل (3) عملية إدخال ملف منطقة الدراسة وإجراء تحليل بيانات المرياث الفضائية داخل بيئة منصة محرك (GEE)



الشكل (5) خارطة توضح مناطق تملح وتصحر التربة في محافظة القادسية
بتحليل بيانات المرياث الفضائية للقمر الصناعي 2 – Sentinel 2 –
لعام 2022 في بيئة منصة محرك (GEE)



2.4. الحصول على النتائج

بعد ذلك مباشرةً يتم الحصول على النتائج المطلوبة، وفي دراستنا هذه كانت نتائج تحليل البيانات قد تمت على ثلاثة مراحل بحسب المدة الزمنية المطلوب تحليل بياناتها.

1.2.4. تحليل بيانات مرياث العام 2022

كانت المرحلة الأولى متضمنة تحليل بيانات منطقة الدراسة للفترة المتعددة من (01-07-2022 ولغاية 30-07-2022)، كما موضح في الشكل (5).

حيث تتضح نطاقات إنتشار الترب المتملحة والمتصحرة داخل وخارج الحدود الإدارية للمحافظة، والتي تبدو جلياً بأن تملح وتصحر تربة السهل الرسوبي

الشكل (4) شفرة الترميز (Code Soil salinity) لتحليل ملوحة التربة من
بيانات مرياث القمر الصناعي 2 – Sentinel 2

```
File Edit Format View Help
//// How to calculate salinity index using sentinel 2
// 1 st step : draw the region
// import and filtering sentinel 2 data
var s2 = ee.ImageCollection("COPERNICUS/S2")
.filterDate('2022-07-01','2022-07-30')
.filterBounds(table2)
.filterMetadata('CLOUDY_PIXEL_PERCENTAGE', 'Less_than', 10)
.mean()
1
print(s2)

// 2 visualization ....
var vis = {
  min: 1413.2,
  max: 5458,
  bands: ['B8', 'B4', 'B2'],
};

Map.addLayer(s2,vis,'RGB 07 2023')

//// 4 - calculate NDSI index ( salinity index )
var NDSI = s2.expression(
  '(R-NIR)/(R+NIR)',{
    'R': s2.select('B4'),
    'NIR': s2.select('B8'),
  }).rename('NDSI')

print('NDSI',NDSI)

//// 4 - calculate NDSI index ( salinity index )

var NDSI = s2.expression(
  '(R-NIR)/(R+NIR)',{
    'R': s2.select('B4'),
    'NIR': s2.select('B8'),
  }).rename('NDSI')

print('NDSI',NDSI)

// visualization
Map.addLayer(NDSI,[],'NDSI')

Export.image.toDrive({
  image:NDSI,
  description: 'sentinel1',
  scale:10,
  region:table2,
});

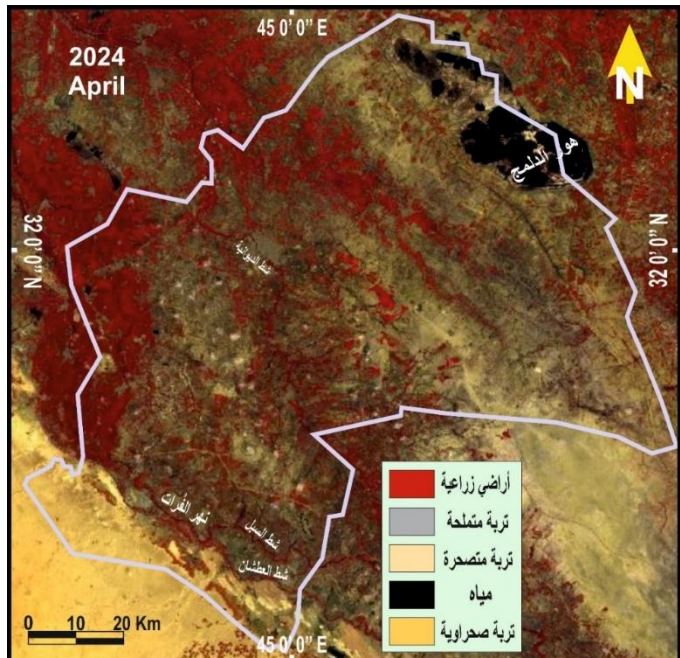
// Create a 3-band, 8-bit, color-IR composite to export.
var S2 = ({
  bands: ['B5', 'B4', 'B3'],
  max: 0.4
});

// Create a task that you can launch from the Tasks tab.
Export.image.toDrive({
  image: S2,
  description: 'Greenest_pixel_composite',
  scale: 30
});
```

نيسان 2024. فكانت نتائج تحليل بياناتها في بيئه منصة محرك (GEE) بعد ان تم تغيير التاريخ في شفرة الترميز المدخلة في بيئه المنصة، لاظهر نتائج ذلك كما في الشكل (7).

الشكل (7) خارطة توضح مناطق تملح وتصحر التربة في محافظة القادسية بتحليل بيانات المرئيات الفضائية للقمر الاصطناعي 2 – Sentinel 2 للعام 2024 في بيئه منصة محرك (GEE) الاصطناعي 2 Sentinel 2 للعام 2024 في

بيئه منصة محرك (GEE)



يظهر من الشكل (7)، الإتساع الكبير للمساحات المزروعة بالمحاصيل الحقلية، فضلاً عن إتساع رقعة النباتات المختلفة الأخرى ومنها النبات الطبيعي الذي ظهر وهو يغطي معظم مساحة منطقة الدراسة، كنتيجة مباشرة لغزارة الامطار التي هطلت خلال الفصل البارد من عام 2024. بالمقابل، إنحسرت مساحات الارضي المتتصحرة والتربي المتملحة بدرجة كبيرة داخل وخارج الحدود الادارية لمحافظة القادسية، وبشكل واضح جداً. وهذا لا يعني اختفاء الارضي المتتصحرة او تلك البهشة التي كانت متملحة في المنطقة، الشكل (8).

الشكل (8) صور للارضي المتتصحرة والمتملحة في المنطقة، بتاريخ 15 – 16 آيار 2024



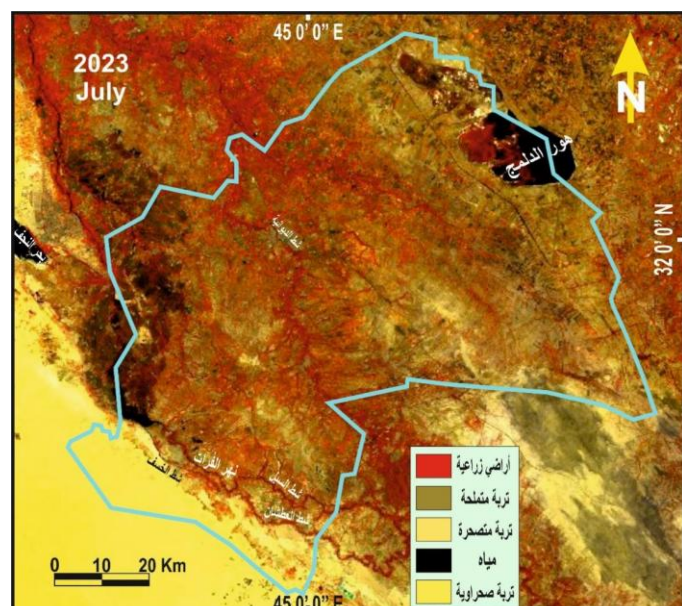
يزحف بشدة من جهه الجنوب الشرقي باتجاه الشرق والشمال الغربي، شاغلاً اجزاء واسعة من الاجزاء الشرقية لمحافظة وصولاً إلى الحافات الغربية وحتى الشمالية الشرقية من هور الدليج. ولا يخفى فان تصحر الارضي الزراعي التي كانت خصبة اساساً، قد بلغ اشدته في العام 2022 كنتيجة لشدة الجفاف الناتجة عن الشندو الكبير في معدلات الحرارة ارتفاعاً، وقلة التساقط المطري

الناتج عن تأثير التغير المناخي العالمي وإنعكاس آثاره الخطيره على العُراق عموماً (3, p: 91 - 93).

2.2.4. تحليل بيانات مرئيات العام 2023

تضمنت المرحلة الثانية تحليل بيانات المرئيات الفضائية لمنطقة الدراسة ضمن الفترة الزمنية الممتدة (30-07-2023 - 01-07-2023) ولغاية (30-07-2023)، وهو الامر الذي تم بعد القيام بتغيير التاريخ المطلوب في شفرة الترميز، لتعمل المنصة على تحليل بيانات مرئيات الفترة الزمنية الجديدة المطلوبة، والتي أنتجت لنا الشكل (6).

الشكل (6) خارطة توضح مناطق تملح وتصحر التربة في محافظة القادسية بتحليل بيانات المرئيات الفضائية للقمر الاصطناعي 2 – Sentinel 2 للعام 2023 في بيئه منصة محرك (GEE)



يظهر من الشكل (6)، توسيع كبير للارضي المزروعة وإنحسار واضح وملموس في مساحات المناطق المتعرضة للتصحر والتملح لمنطقة لنفس الفترة مقارنة بالعام الماضي لها (2022) والذي كان عاماً شديداً الجفاف، في حين ان العام 2023 كان أكثر رطوبةً مما سبقه، مما انعكست آثاره الإيجابية على المنطقة.

3.2.4. تحليل بيانات مرئيات العام 2024

جاءت المرحلة الثالثة والأخيرة ضمن هذه الدراسة بتحليل بيانات المرئيات الفضائية للقمر الاصطناعي 2 – Sentinel 2 للفترة الممتدة بين (1 نيسان ولغاية 30 نيسان من عام 2024)، وهذه السنة كانت عاماً رطباً وحدثت فيه زخات مطريه كبيرة ومتعددة، ابتدأت منذ تشرين الثاني 2023 ولم تتوقف بعد انتهاء

محرك (GEE) بالدرجة الاساس لتحليل بيانات المريئات الفضائية لهذه المنطقة من للقمر الاصطناعي 2 – Sentinel .

وقد اتضح من الدراسة، بان اتساع وازدياد انتشار المناطق المتصرحة في هذه المنطقة الزراعية اصلاً، وذات التربة الخصبة (تربة السهل الفيسي)، يتأثر بدوره بشدة بتغيرات المُناخ وتقلباته التي بدأت تظهر بوضوح منذ نهایات ثمانينيات القرن العشرين، والتي ازدادت حدةً وتطرفاً في وقتنا الحاضر. وهذا يعني بطبيعة الحال ان الممارسات الخاطئة للانسان في الزراعة والسوق بالغمر في منطقة ذات اراضٍ مستوية، وذات مناسبٍ لا تتعدي 24 م عن مستوى سطح البحر، واحياناً حتى اقل من 6 م، هو امر يمكن التغاضي عنه او ان تأثيره ضعيف في تملح التربة وبالتالي تصرّحها.

اظهرت نتائج الدراسة، ان نسبة الاراضي المتصرحة والمملحة بشدة ضمن المنطقة قد بلغ نحو (2566.81) كم² لعام 2022، وهو ما يمثل نحو (30.92%) من مساحتها الكلية. وهذا إنعكاس واضح للجفاف الشديد الذي شهدته ذلك العام، مما انعكس بتأثيره الخطير على المنطقة بصورة واضحة. إلا إنّ، هذه المساحات المتصرحة في المنطقة تراجعت إلى نحو (983.34) كم² لعام 2023 في مقابل إنتعاش في مساحات الاراضي المزروعة حقولاً وتلك التي انتشر فيها بوضوح النبات الطبيعي، لأن عام 2023 كان أكثر رطوبةً من سابقه. وقد تراجعت مساحات الاراضي المتصرحة والمملحة في المنطقة بصورة واضحة نهاية نيسان من العام الحالي (2024) م فبلغت نحو (625.84) كم² اي ما يمثل نسبة (7.54%) من المنطقة، كنتيجة مباشرة لكونه عام رطب وان تساقط الامطار فيه استمر حتى اوائل شهر آيار – مايس، ولا يخفى فان درجات الحرارة لهذا العام كانت اقل من سبقتها حتى الان. يجدر بالذكر، فان مساحة الاراضي المتصرحة ضمن المحافظات الثلاث (القادسية، المثنى وذي قار)، بلغت نحو 9.38 كم²، وهو يعادل نحو (0.04%) فقط من مساحة السهل الرسوبي ضمن المحافظات الثلاث لعام 1998 (3, p: 87)، إذ كان ذلك العام رطباً وقد توزعت امطاره بشكل منتظم طيلة فترة الشتاء والربيع. الامر الذي يعكس قوة تأثير المُناخ وبالتالي تطرفه الناجم عن التغير المناخي العالمي في اتساع مساحات تصرّح مناطق السهل الرسوبي العراقي.

تُظهر الدراسة، بان منصة محرك (GEE)، وهي إحدى تطبيقات المعلومات المكانية الارضية (الجيوماتيكية – Geomatics)، هي منصة سهلة الاستعمال ومتاحة مجاناً لكل الباحثين، وبامكانها ان توفر الكثير من الميزات المهمة وابرزها الحصول على نتائج تحليل بيانات ضخمة في وقتٍ قياسي. لذا فانها ستمثل في المستقبل القريب أداةً مهمةً جداً في هذا المضمار، لاسيما في مراقبة تصرّح وتملح التربة لمساحات إقليمية واسعة. وبالتالي، فيمكن ان تكون هذه المنصة جزءاً من نظام فعال للمراقبة والإنذار المبكر لمواجهة ومكافحة تصرّح الاراضي الخصبة في العراق. كذلك، لا يخفى فان على الجميع التعاون في هذا الموضوع الشائك والمعقد، من خلال ايجاد تنسٍيٍّ علٍّيٍّ حقيقي لاستخدام الموارد المائية بشكلٍ فعال ومعقول. كذلك، يتعين على الجميع تطبيق التكنولوجيا الحديثة والاساليب

حيث تشير الصور: (1) اراضي متصرحة في آل بدير جنوب شرق المحافظة؛ (2) اراضي متصرحة في آل بدير؛ (3) تربة مملحة في المنطقة الواقعة بين الديوانية والدغارة

يجدر بالذكر، فان مناطق المدن في المحافظة تظهر بلون رمادي غامق الى متوسط، وهو مشابه لما تظهر عليه تلك الترب المتملحة بشدة في نتائج تحليل البيانات وإنناج الخارطة الهاينية.

3.4. مقارنة ومضاهاة نتائج تحليل البيانات

بمقارنة النتائج التي حصلنا عليها، ومضاهتها مع بعضها البعض، يتضح ان التغير المناخي له الاثر الاكبر في توسيع مساحات المناطق المتصرحة من المحافظة بالخصوص، والعراق عموماً. وهو ما يمكن ملاحظته بالنتائج نفسها التي توصل إليها الغربي في الدراسة لعام 2023 (3, p: 75)، فقد ظهرت مساحات الاراضي المتملحة والمتصدرة باكبر مساحة لها في المنطقة (30.92%) عام 2022 وهو عام شديد الجفاف. بينما انخفضت هذه مساحات الاراضي المتصرحة بوضوح عام 2023 (11.84%)، وانحرست بوضوح كبير عام 2024 الذي كان عاماً رطباً نحو (7.54%). كما في الجدول (1).

الجدول (1) مساحات الاراضي المتصرحة والمملحة في المنطقة للاعوام 2022, 2023, 2024, 2023

السنة	مساحة الاراضي المتصرحة والمملحة	النسبة المئوية من المساحة الكلية لمنطقة السهل الرسوبي في المحافظة
2022	2566.81	%30.92
2023	983.34	%11.84
2024	625.84	%7.54

وبذلك، نلمس وبما لا يقبل الشك او التأويل مدى تأثير التغير المناخي العالمي وتذبذبات عناصره (الأمطار، الحرارة بالدرجة الرئيسة)، في التأثير الواضح والشديد على توسيع او انحسار الاراضي المتصرحة او تلك التي في طريقها إلى التصحر. وبهذا نجد ان تربة السهل الرسوبي في المنطقة تكون حساسة جداً لعناصر المُناخ وتحديداً للاثار السلبية الخطيرة التي يتركها التغير المناخي على الكوكب. وهذا لا يعني إنعدام وجود الاثر السببي للنشاط البشري في توسيع الاراضي المتصرحة، بل يلقي الضوء على اهمية وقف تلك النشاطات غير الصحيحة، واستبدالها بالممارسات الصحيحة في المجال الزراعي وغيره من مجالات الحياة الأخرى.

5. الخاتمة – Conclusion

قمنا في هذه الدراسة بمحاولة الكشف عن وتقدير حساسية تملح وتصحر تربة السهل الرسوبي الواقعة ضمن الحدود الإدارية لمحافظة القادسية، للفترة الزمنية المتعددة بين تموز 2022 ولغاية نيسان 2024 م. لقد تم الإرتكاز على منصة

8. Chen, A., Yang, X., Xu, B., Jin, Y., Guo, J., Xing, X., ... & Zhu, L. Monitoring the spatiotemporal dynamics of aeolian desertification using Google Earth Engine. *Remote Sensing*, 13(9), 1730. (2021).

[[Google](#) [Scholar](#)]

<https://doi.org/10.3390/rs13091730>

9. Tripathy, G. K., Ghosh, T. K., & Shah, S. D. Monitoring of desertification process in Karnataka state of India using multi-temporal remote sensing and ancillary information using GIS. *International Journal of Remote Sensing*, 17(12), 2243-2257. (1996). [[Google](#) [Scholar](#)]

<https://doi.org/10.1080/01431169608948771>

10. Zerrouki, Y., Harrou, F., Zerrouki, N., Dairi, A., & Sun, Y. Desertification detection using an improved variational autoencoder-based approach through ETM-landsat satellite data. *IEEE Journal of Selected Topics in Applied Earth Observations and Remote Sensing*, 14, 202-213, (2020). [[Google](#) [Earth](#)]

<https://doi.org/10.1109/JSTARS.2020.3042760>

11. Al-Guraiy, A. S. Y., & Al-Omary, J. A. H. Geomorphological-environmental potentials and their importance in establishing natural reserves in western Iraq using GIS. In *IOP Conference Series: Earth and Environmental Science* (Vol. 790, No. 1, p. 012016). IOP Publishing. (2021, June). [[Google](#) [Scholar](#)] <http://dx.doi.org/10.1088/1755-1315/790/1/012016>

12. Al-Guraiy, A. S. Y., & Abd Al kadhim Aljashamy, H. H. Climate change and its impact on the change of rice production and related industries in Al-Qadisiyah Governorate for the 2022 Agriculture season, using digital processing of Sentinel-2 data. *Al-Qadisiyah Journal For Humanities Sciences*, 25(4), 510-543 , (2022). [[Google](#) [Scholar](#)]

<http://dx.doi.org/10.5281/zenodo.7538706>

13. Zhao, Y., Li, S., Yang, D., Lei, J., & Fan, J. Spatiotemporal Changes and Driving Force Analysis of Land Sensitivity to Desertification in Xinjiang Based on GEE. *Land*, 12(4), 849, (2023). [[Google](#) [Scholar](#)]

<https://doi.org/10.3390/land12040849>

العلمية الجديدة لتحقيق الإدارة المستدامة لهذه الارضي، والحد من النشاط البشري غير المنصف وغير المعقول في استخدامه لهذه الموارد والتسبب بخسارة الارضي الخصبة لصالح التصحر الشديد.

References:

1. Karamesouti, M., Panagos, P., & Kosmas, C. Model-based spatio-temporal analysis of land desertification risk in Greece. *Catena*, 167, 266-275. (2018). [[Google](#) [Scholar](#)] <https://doi.org/10.1016/j.catena.2018.04.042>
2. Yue, Y., Geng, L., & Li, M. The impact of climate change on aeolian desertification: A case of the agro-pastoral ecotone in northern China. *Science of The Total Environment*, 859, 160126. (2023). [[Google](#) [Scholar](#)] <https://doi.org/10.1007/BF00140520>
3. Al-Guraiy, A. S. Y., & Al-Zubaidi, A. H. A. Climate Change and Its Impact on The Expansion of The Phenomenon of Sand Dunes and Desertification of Agricultural Lands in Iraq for The Period 1984-2022 (Governorates of Al-Qadisiyah, Al-Muthanna, and Dhi Qar). (2023). [[Google](#) [Scholar](#)] <https://doi.10.52865/YJPI8019>
4. Nations, U. Transforming our world: The 2030 agenda for sustainable development. *New York: United Nations, Department of Economic and Social Affairs*, 1, 41. (2015). [[Google](#) [Scholar](#)].
5. United Nations (1977). Report of the United Nations Conference on Desertification, Nairobi, vol. 29 [[Google](#) [Scholar](#)].
6. UNEP. Development of guidelines for assessment and mapping of desertification and degradation in Asia/Pacific. In *Proceedings of the Draft Report of the Expert Panel Meeting, Paris, France, 17 June 1994*. Robbie, Kanyana: United Nations Environment Programme. (1994). [[Google](#) [Scholar](#)]
7. United Nations Convention to Combat Desertification (Secretariat). United Nations Convention to Combat Desertification in Those Countries Experiencing Serious Drought And/or Desertification, Particulary in Africa. Secretariat of the United Nations Convention to Combat Desertification. (1999). [[Google](#) [Scholar](#)]

15. Rajbanshi, J., & Das, S.. Monitoring land sensitivity to desertification using the ESAI approach and evaluation of the key indicators: A spatio-temporal study in India. *Land Degradation & Development*, 32(10), 3045-3061. (2021) [\[Google Scholar\]](#) <https://doi.org/10.1002/ldr.3965>
14. Wei, W., Guo, Z., Shi, P., Zhou, L., Wang, X., Li, Z., ... & Xie, B. Spatiotemporal changes of land desertification sensitivity in northwest China from 2000 to 2017. *Journal of Geographical Sciences*, 31, 46-68. (2021). [\[Google Scholar\]](#) <https://doi.org/10.1007/s11442-021-1832-1>